

A Review of the Effect of Different Structures and Morphologies of g-C₃N₄ on Its Performance in Dyes Removal

Hajar Farhadi, Narjes Keramati*

Department of Nanotechnology, Faculty of New Sciences and Technologies, Semnan University, P. O. Code: 35131- 19111, Semnan, Iran.

ARTICLE INFO

Article history:

Received: 14-12-2024

Accepted: 12-03-2025

Available online: 21-05-2025

Print ISSN: 2251-7278

Online ISSN: 2383-2223

DOI: [10.30509/jscw.2025.167430.1214](https://doi.org/10.30509/jscw.2025.167430.1214)

Keywords:

Graphitic carbon nitride (g-C₃N₄)

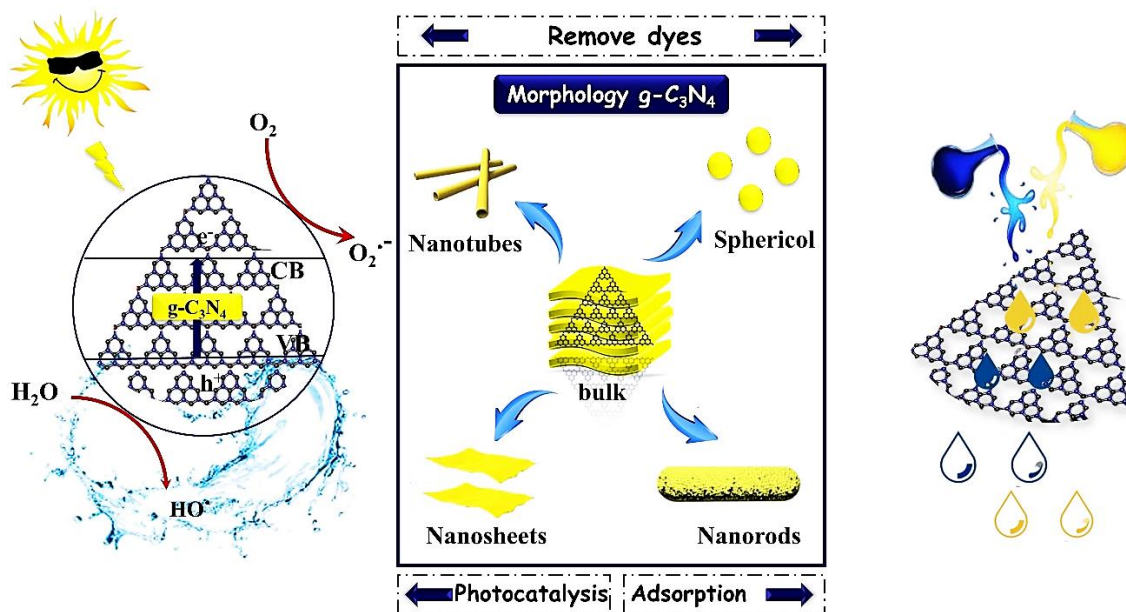
Pollutant

Nanostructure

Dye removal

ABSTRACT

Water pollution is becoming an unavoidable problem in today's world. Tons of dangerous pollutants are discharged into clean water every day. Pollutants in water have negative effects on both the natural environment and human health and are also a significant cause of death worldwide. In this regard, adsorbents and photocatalysts utilizing nanotechnology, such as organic, metallic, and non-metallic semiconductor photocatalysts, have garnered considerable attention over the past few decades. The objective of this study is to examine the impact of various nanostructures of graphitic carbon nitride (g-C₃N₄), including nanosheets, nanotubes, and nanorods, on their performance, as well as the effectiveness of certain g-C₃N₄-based composites as adsorbents and photocatalysts in adsorption and photocatalytic processes for dye removal from wastewater. Based on previous research findings, the dye removal efficiency of g-C₃N₄ nanostructures is significantly enhanced compared to their bulk counterparts due to their higher porosity and surface area, stronger electrostatic interactions, and a greater number of active sites.



Corresponding author: * narjeskeramati@semnan.ac.ir



This work is licensed under a Creative Commons Attribution 4.0 International License



مروری بر تاثیر ساختار و ریخت‌های متفاوت $\text{g-C}_3\text{N}_4$ بر عملکرد آن در حذف رنگزها

هاجر فرهادی^۱، نرجس کرامتی^{۲*}

- ۱- دانشجوی کارشناسی ارشد، دانشکده نانوفناوری، پردیس علوم و فناوری‌های نوین، دانشگاه سمنان، سمنان، ایران، کد پستی: ۳۵۱۳۱-۱۹۱۱۱.
۲- استادیار، دانشکده نانوفناوری، پردیس علوم و فناوری‌های نوین، دانشگاه سمنان، سمنان، ایران، کد پستی: ۳۵۱۳۱-۱۹۱۱۱.

چکیده

آلودگی آب در حال تبدیل شدن به یک مشکل اجتناب‌ناپذیر در دنیای امروز است. هر روزه تن‌ها آلاینده خطرناک به آب پاک تخلیه می‌شود. آلاینده‌های موجود در آب‌ها اثرات منفی بر محیط طبیعی و سلامت انسان دارند و همچنین یکی از علت‌های مرگ و میر در جهان هستند. در این راستا، جاذبه‌ها و فتوکاتالیست‌ها با استفاده از فناوری نانو مانند استفاده از فتوکاتالیست‌های نیمه‌رسانای آلوی، فلزی و غیرفلزی در چند دهه اخیر توجه زیادی را به خود جلب کرده است. هدف از این مطالعه، بررسی تاثیر انواع نانو ساختارهای کربن نیترید گرافیتی از جمله نانوصفحات، نانولوله‌ها و نانومیله‌ها بر عملکرد آنها و برخی از کامپوزیت‌های کربن نیترید گرافیتی به عنوان جاذب و فتوکاتالیست در فرایندهای جذب سطحی و فتوکاتالیزی حذف رنگزها از پساب است. با توجه به نتایج تحقیقات پیشین، بازده حذف رنگزها در نانو ساختارهای $\text{g-C}_3\text{N}_4$ به دلیل داشتن تخلخل و مساحت سطح بیشتر، جاذبه الکتروواستاتیکی و مکان‌های فعال فراوان نسبت به حالت توده افزایش داشته است.

اطلاعات مقاله

تاریخچه مقاله:

تاریخ دریافت: ۱۴۰۳/۰۹/۲۴

تاریخ پذیرش: ۱۴۰۳/۱۲/۲۲

در دسترس به صورت الکترونیکی: ۱۴۰۴/۰۲/۳۱

شایا چاپی: ۲۲۵۱-۷۲۷۸

شایا الکترونیکی: ۲۳۸۳-۲۲۲۳

DOI: 10.30509/jscw.2025.167430.1214

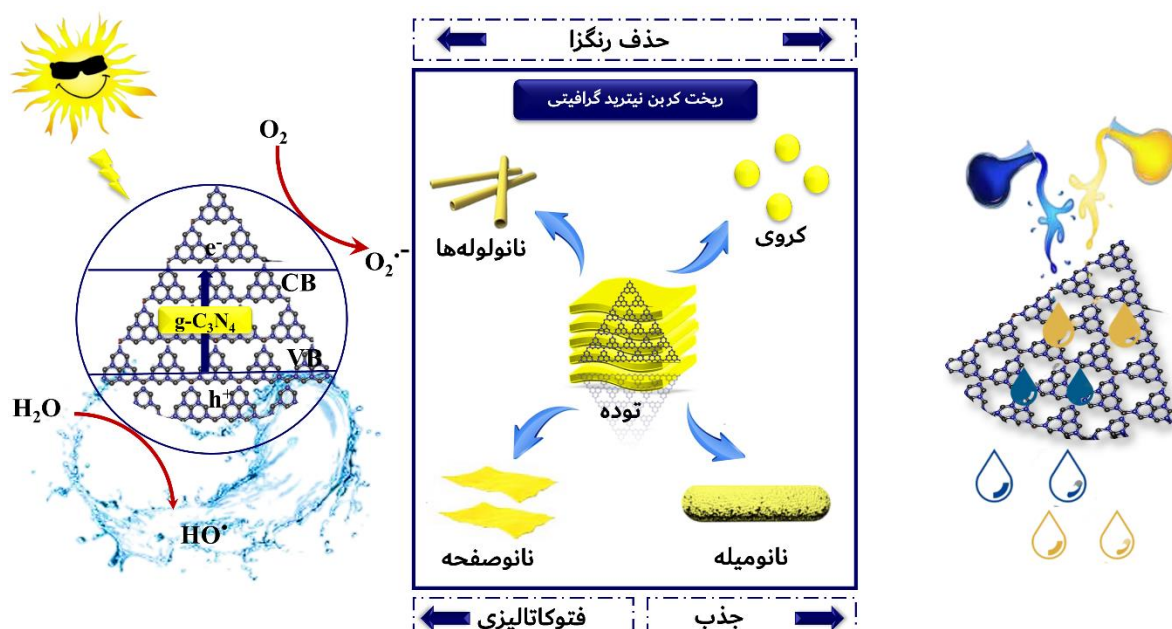
واژه‌های کلیدی:

کربن نیترید گرافیتی ($\text{g-C}_3\text{N}_4$)

آلاینده

نانو ساختار

حذف رنگرا



نیتروژن که غنی از الکترون هستند، برای جذب می‌توانند مانند داریست مولکولی عمل کنند. قابلیت هم‌اهنگی بالا در ساختار کربن نیترید گرافیتی فرایند جذب و فوتوکاتالیزی را افزایش می‌دهد. واحدهای تکرار شونده -۳-۵-تریازین در ساختار کربن نیترید گرافیتی، باعث پایداری این ماده می‌شوند. به دلیل هزینه پایین، دوست‌دار محیط‌زیست، پایداری حرارتی و شیمیایی بالا و خواص منحصر به فرد الکترونی به طور گسترش به عنوان جاذب مورد استفاده قرار می‌گیرد. همچنین حضور جفت الکترون در اتم نیتروژن، تحرک حامل بار بیشتر و هدایت الکتریکی را فراهم می‌کند (۲۶-۲۵).

در این مطالعه، تأثیر انواع ساختارهای کربن نیترید گرافیتی، از جمله ریخت توده، نانوصفحه و نانولوله‌ها، بر عملکرد آن در حذف آلاینده‌های رنگرا مورد بررسی قرار گرفته است. هدف این مطالعه، مرور و تحلیل پژوهش‌های انجام شده در زمینه عملکرد این ساختارها در فرایندهای جذب و فوتوکاتالیزی است. علاوه بر این، به بررسی برخی از کامپوزیت‌های کربن نیترید گرافیتی و کارایی آن‌ها به عنوان جاذب و فوتوکاتالیست پرداخته شده است. کاراصل می‌تواند فرصت جدیدی برای استفاده از نانوساختارهای کربن نیترید گرافیتی و یا کامپوزیت‌های کربن نیترید گرافیتی به عنوان فوتوکاتالیست و جاذب و بهخصوص جذب انتخابی برای حذف آلاینده‌های آبی ایجاد کند.

۲- کربن نیترید گرافیتی

کربن نیترید گرافیتی معمولاً با پسپارش حرارتی پیش ماده‌های متفاوتی از جمله اوره، تیواوره، سیانامید، دی‌سیانامید و ملامین در دماهای مختلف (۴۵۰-۵۵۰ درجه سانتی گراد) سنتر می‌شود. سنتر شامل اضافه شدن نوکلوفیلی و بسپارش می‌باشد. ابتدا مولکول‌های اوره یا تیواوره توسط واکنش‌های تراکمی و اضافی به ملامین تبدیل شده و با افزایش دما، ملامین به کربن نیترید گرافیتی تبدیل می‌گردد (۳۰-۳۷). ساختارهای مولکولی از پیش ماده‌های متداول g-C₃N₄ در شکل ۱ نشان داده شده است (۳۱).

کلودین^۲ و همکارانش در سال ۲۰۲۴ (۳۲)، از طریق بسپارش و با استفاده از پیش ماده اوره g-C₃N₄ را سنتر کردند. سپس با وارد کردن g-C₃N₄ توده‌ای آمده شده به محیط واکنش سنتر، (کربن نیترید گرافیتی-بیسموت وانادات) BiVO₄-g-C₃N₄ تشکیل شد. نتایج مشخصه‌یابی نشان داد سنتر به خوبی و با توزیع و یکنواختی بالا انجام شده است. ترکیب BiVO₄ با g-C₃N₄، باعث تراز کردن سطوح انرژی و استفاده از خواص منحصر به فرد انتقال بار برای افزایش تخریب رنگراها با نور مرئی، امیدوارکننده است.

۱- مقدمه

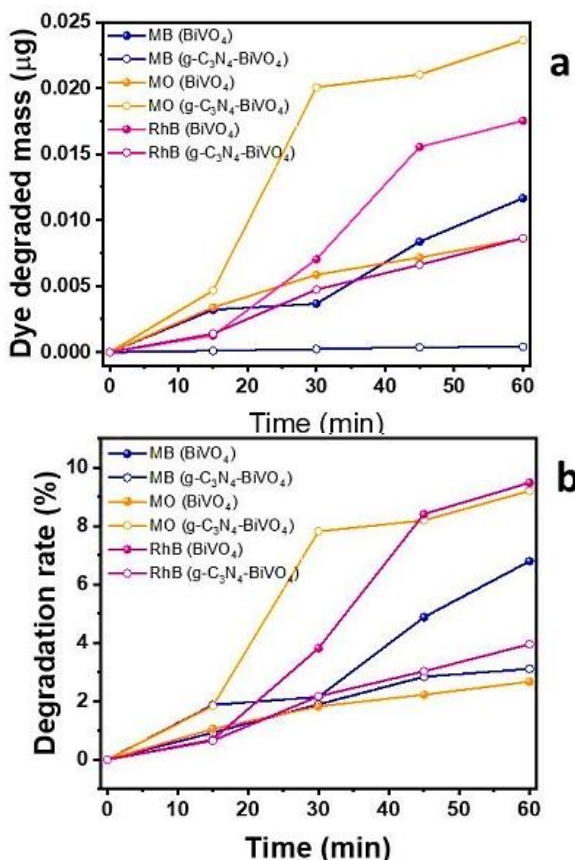
در سال‌های اخیر تلاش زیادی برای جلوگیری از آلدگی محیط‌زیست انجام شده است. از اولین مشکلاتی که برای رسیدن به این هدف می‌توان نام برد اثراتی است که مواد صنعتی بر محیط‌زیست دارند. با توجه به رشد صنایع و تولیدات صنعتی، ترکیب‌های جدید به عنوان آلاینده‌ها به محیط‌زیست وارد می‌شود (۱). آلاینده‌ها مشکلاتی مانند آسیب کبدی، کلیوی و سرطان در انسان به وجود می‌آورند (۲). رنگراها بطور گسترده در صنایع مختلفی از جمله رنگ‌آمیزی، نساجی، چرم، صنایع غذایی و دارویی، لوازم آرایشی و بهداشتی، کاغذ و پلاستیک مورد استفاده قرار می‌گیرند (۳). مواد رنگرا یکی از خطرهای جدی برای محیط‌زیست محسوب می‌شوند که به عنوان آلاینده به محیط‌زیست وارد شده و حجم زیادی از پساب‌های رنگرا را تولید می‌کنند. بنابراین یکی از منابع اصلی آلدگی آبهای رنگراها هستند و در سال‌های اخیر توجه بسیاری از محققین در زمینه پاکسازی محیط‌زیست از جمله حذف آلاینده‌های آبی، معنده و عوامل فیزیکی از پساب مورد توجه قرار گرفته است (۴-۷). روش‌های مختلفی برای حذف آلاینده‌ها از آبهای آلدگی از جمله: جذب سطحی، تبادل یونی، تهنشینی، اسمز معکوس، صافش غشایی، اکسایش و فوتوکاتالیزی مورد استفاده قرار گرفته است (۸-۱۰). از میان آنها روش جذب یکی از روش‌هایی است که به دلیل بازده بالا، هزینه کم، راحتی و سادگی، و روش تخریب فوتوکاتالیزی به عنوان یکی از فناوری‌های پیشرفته تصفیه محیطی در ایجاد گزینه‌ای برای مشکلات آلدگی رنگراها توجه بیشتری را به خود جلب کردند (۱۱-۱۵). وجود یک فوتوکاتالیست ایده‌آل که بتواند به طور موثر نور را جذب کند و از حامل‌های بار تولید شده برای واکنش کاهش استفاده کند، هنوز یک چالش است (۱۶، ۱۷). همچنین یک جاذب مناسب باید عوامل مطلوبی مانند مساحت سطح بزرگ، تخلخل بالا، پایداری فیزیکی، ظرفیت جذب بالا و گزینش پذیری خوب نسبت به آلاینده‌های هدف را داشته باشد. علاوه بر این، جاذب باید غیر سمی باشد و با حداقل هزینه و تلاش ممکن به راحتی تولید و احیا شود (۱۸، ۱۹). جداسازی جاذب از محلول‌های آبی نیز یک معیار مهم است.

کربن نیترید گرافیتی (C₃N₄) به عنوان یک نیمه رسانای پلیمری (۲۰) بدون فلز به دلیل فعالیت در زیر نور مؤنی با کاف نوار^۱ مناسب (بین ۴۷-۴۸ eV)، غیرسمی‌بودن، پایداری شیمیایی بالا و روش‌های آماده سازی راحت به عنوان یکی از مواد جاذب (۲۱) و فوتوکاتالیزی (۲۲) منتخب شناخته می‌شود. کربن نیترید گرافیتی، یک ماده پلیمری می‌باشد که به دلیل سنتر آسان، بزرگ بودن سطح، پایداری خیلی خوب و غیرسمی (۲۳) بودن مورد توجه قرار گرفته است. در ساختار این ماده، نیتروژن وجود دارد که دارای جفت الکترون غیرپیوندی می‌باشد و توسط واحدهای -۸-تریازین (C₃N₃) یا ۳-۵-تریازین (C₃N₇) تولید می‌شود (۲۴). اتم‌های

² Claudino

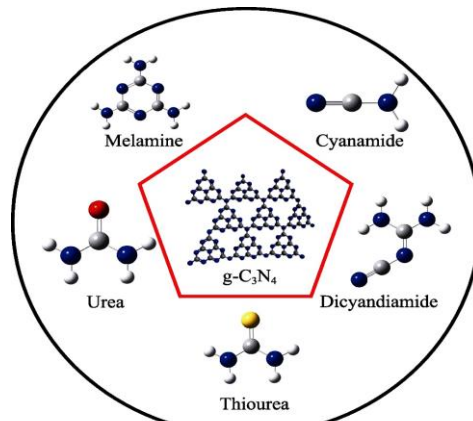
¹ Babd gap

نانومواد برپایه کربن نیترید گرافیتی ساخته شدند تا محدودیت‌های حالت توده آن ماده را برطرف سازد. مواد نانوساختار با دو رویکرد بالا به پایین و پایین به بالا قابل ساخت می‌باشند. برای تولید محصول در رویکرد بالا به پایین، یک ماده در حالت توده را شکل‌دهی و اصلاح می‌کنند. در این روش، یک ماده در حالت توده، با کاهش ابعاد و شکل‌دهی آن، به یک محصول نانومتری رسانده می‌شود. روش‌های مختلفی برای تهیه و ساخت نانوذرات وجود دارد. از مهم‌ترین آنها می‌توان سازوکارهای تبخیر، واکنش‌های فاز گازی ایجاد شده توسط لیزر یا پلاسمای آسیاب کردن مکانیکی (۴۹–۵۲) را نام برد. برای طراحی ساختار نانو، روش قالب سخت و نرم مقدماتر است که ریخت‌های جدید ایجاد کرده و همچنین بصورت منظم متخلخل شده است. روش‌های قالب سخت به عنوان یک مسیر معمولی کار می‌کنند که عوامل هدایت ساختار سخت را با مواد اولیه در طول واکنش حرارتی ترکیب می‌کنند.



شکل ۲: (a) جرم رنگزای تخریب شده به عنوان، تابع، از؛ ماده، و (b) میزان تخریب به عنوان، تابع، از؛ ماده، با استفاده از؛ g-C₃N₄/BiVO₄ و BiVO₄، به عنوان جاذب و رنگزای، متیلن، بله (MB)، متیل، اون، آن (MO) و رومین بی (RhB) با مقدار ۳۰ mg/L قبل از جذب (۳۲).

Figure 2: (a) Mass of dye degraded as a function of time and (b) degradation rate as a function of time, using BiVO₄ and g-C₃N₄ BiVO₄ as adsorbent and (Methylene blue) MB, (Methyl orange) MO, and (Rhodamine B) RhB as dyes at an initial concentration of 30 mg L⁻¹ before the adsorption process (32).



شکل ۱: نمایی از پیش‌ماده‌های متداول g-C₃N₄ (۳۱).

Figure 1: Schematic of common g-C₃N₄ precursors (31).

با توجه به نتایج طبق شکل ۲، بازده تخریب رنگزاهای توسط g-BiVO₄ C₃N₄ به ترتیب متیل اورانی (MO) > رومین بی (RhB) > متیلن بلو (MB) است. این مطالعه نشان داد که g-C₃N₄/BiVO₄ برای تخریب رنگزاهای آنیونی (مانند MO) عملکرد بهتری دارد (۳۳).

با این حال، خاصیت ضعیف g-C₃N₄ در مقیاس توده (۳۳)، کاربردهای g-C₃N₄ را محدود می‌کند. به نوبه خود، روش‌های مختلفی مانند دوب کردن (۳۴)، تغییر ریخت (۳۵) و ترکیب مواد (۳۶) برای غله بر این نقص‌ها اتخاذ شده‌اند. در هر لایه کربن نیترید گرافیتی پیوندهای قوی کووالانسی (۳۷، ۳۸) بین اتم کربن و نیتروژن وجود دارد. اما لایه‌ها توسط پیوند ضعیف و اندروالس (۳۸) به هم متصل شده‌اند. بنابراین با لایه‌برداری کربن نیترید گرافیتی توده، به راحتی نانوساختارهای کربن نیترید گرافیتی (۳۹، ۴۰) به دست می‌آید. از روش‌های لایه‌برداری می‌توان به لایه‌برداری اولتراسونیک (۴۱)، حرارتی (۴۲) و شیمیایی (۴۳) اشاره کرد. روش لایه‌برداری حرارتی را می‌توان به عنوان روشی با هزینه پایین، قابلیت اجرا در مقیاس بزرگ و روش سازگار با محیط‌زیست در نظر گرفت (۴۴–۴۶).

۳- پژوهش‌های پیشین در زمینه ساخت نانوساختارهای کربن نیترید گرافیتی

مواد در مقیاس نانو، خواص و ویژگی‌های جدید از خود نشان می‌دهند و این خواص و ویژگی‌ها در حالت توده وجود ندارد. از جمله خواص شیمیایی، فیزیکی، نوری، الکتریکی، حرارتی، مغناطیسی، واکنش‌پذیری و مکانیکی در ابعاد نانو تغییر می‌کنند. دو دلیل اصلی برای این تغییر خواص می‌تواند وجود داشته باشد. یکی از آنها اثرات سطحی و دیگری ورود به محدوده فیزیک کوانتوم می‌باشد. نانومواد به علت اندازه بسیار کوچک، دارای نسبت سطح به حجم بسیار بالایی هستند (۱، ۴۷، ۴۸).

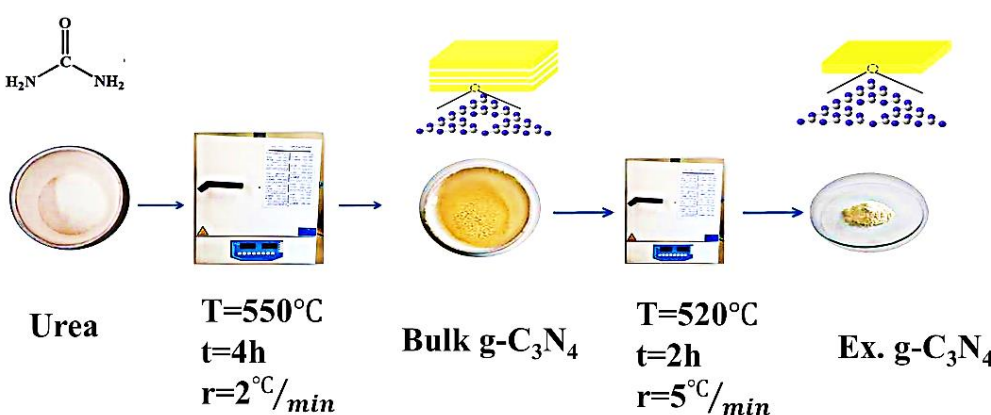
مزیت‌های مهم نانوصفحات کربن نیترید گرافیتی سطح بالا برای ارائه مکان‌های جذب فراوان است، که موجب افزایش ظرفیت جذب و بهبود فرایند فتوکاتالیزی جهت حذف رنگزها می‌شود. بنابراین با لایه‌برداری کربن نیترید گرافیتی توده، به راحتی نانو‌ساختارهای کربن نیترید گرافیتی به دست می‌آید (۴۴، ۵۸، ۵۹). در تحقیقاتی توسط فرهادی و کرامتی در سال ۲۰۲۳ (۱۸)، لی^۱ و همکارانش در سال ۲۰۱۸ (۶۰) و کای^۲ و همکارانش در سال ۲۰۱۷ (۶۱)، نانوصفحات کربن نیترید گرافیتی به روش حرارتی سنتز شده است. شمایی از روش سنتز حرارتی در شکل ۳ مشاهده می‌شود. فرهادی و کرامتی، نانوصفحات کربن نیترید گرافیتی را در دمای ۰°C، ۵۲۰°C، ۴۵۰°C، ۵۰۰°C، ۵۲۵°C، ۵۵۰°C و ۵۷۵°C و کای و همکاران در دمای ۰°C، ۴۵۰°C، ۴۳۱°C و ۶۱۹°C در کردن، نانوصفحات عملکرد بهتری از حالت توده داشته است. در تحقیق فرهادی و کرامتی، فرایند جذب متیلن بلو با غلظت اولیه ۱۰ mg/L در pH=۹، زمان ۱۲۰ دقیقه و مقدار جاذب ۳/۰ گرم بر لیتر، مدل سینتیک الیوچ و ایزوترم لانگمویر را نشان داد. همچنین نتایج ترمودینامیکی نشان دادند که فرایند جذب متیلن بلو بر روی سطح جاذب به صورت خودبه خودی و شیمیایی است (۱۸). لی^۱ و همکارانش، سینتیک جذب متیلن بلو را در غلظت اولیه ۱۰ mg/L و pH=۶ مورد بررسی قرار دادند. همچنین ظرفیت جذب تعادلی CN-575 (کربن نیترید گرافیتی لایه‌برداری شده) برای جذب متیلن بلو با مقادیر g/g ۳۷/۷۶ و ۳۲/۱۰ بسیار بالاتر است. ظرفیت جذب بالاتر توسط CN-57 به اصلاح سطح و تخلخل و در نهایت سطح ویژه بیشتر CN-57، بلورینگی بالا و مکان‌های واکنش پذیرتر نسبت داده شده است (۶۰).

سپس نمونه توسط هیدروفلوریک اسید (HF)، آمونیوم هیدروژن فلوراید (NH₄HF₂) و محلول‌های قلیایی مختلف اج می‌شود و نانو ساختار مورد نظر به دست می‌آید (۵۳). ساختار با تغییر گونه‌ها و غلظت پیش ماده کنترل می‌شود. همچنین برای عدم استفاده از قالب‌های سخت به دلیل هزینه بالا و خطرات آنها، از قالب‌های نرم استفاده می‌شود (۵۴). در مقایسه با کربن نیترید گرافیتی توده، کربن نیترید گرافیتی چند بعدی با اندازه و ریخت‌های مختلف طراحی شده‌اند. مانند نقاط کوانتموی، نانولوله‌ها، صفحات دوبعدی و غیره که نانو‌ساختارهای متفاوت، مساحت سطح و تخلخل متفاوتی دارند (۱).

۱-۳- ساخت نانو ساختار دوبعدی (نانو صفحات) کربن نیترید گرافیتی و تاثیر بر عملکرد آن در حذف رنگزها

یکی از رایج‌ترین روش‌ها برای جستجوی مواد جدید دو بعدی، لایه‌برداری از ماده اصلی در حالت توده است (۵۵). این مواد از لایه‌های مسطح با پیوندهای شیمیایی قوی درون لایه‌ای تشکیل شده‌اند که این لایه‌ها تو سط نیروی ضعیف واندروالس به هم متصل می‌شوند و به راحتی لایه‌ای می‌شوند. پایه نانوصفحات کربن نیترید گرافیتی، حلقه‌های ۳-۸-تریازین هستند که این حلقه‌ها باعث پایداری نانوصفحات می‌گردند. همچنین با توجه به ساختار نانو صفحات کربن نیترید گرافیتی، به دلیل پیوند اتم کربن با سه اتم کربن مجاور خود در هر لایه از گرافیت و تشکیل یک پیوند دوگانه با یکی از اتم‌های کربن می‌توانند به عنوان نیمه هادی‌ها عمل کنند و دارای حفره، سطح کروی باز و خلل و فرج می‌باشد (۵۶).

نانوصفحات کربن نیترید گرافیتی مزایایی زیادی نسبت به حالت توده خود دارند. نانوصفحات کربن نیترید گرافیتی با بار منفی می‌توانند فعل و انفعالات الکترواستاتیک با یون‌های با بار مثبت ایجاد کنند. این ماده انتخاب مناسبی برای جذب آلاینده‌ها است (۵۷). یکی از



شکل ۳: شمایی از روش سنتز حرارتی نانوصفحات g-C₃N₄. (۱۸)
Figure 3: Schematic of g-C₃N₄ Nanosheets thermal synthesis method (18).

³

Elovich

⁴ Li¹ Li² Cai

نیز برای توضیح عملکرد نوری نمونه‌ها استفاده شد. با نسبت‌های مختلف بین اسید سولفوریک غلیظ و اتیل الکل، نانوصفحات g-C₃N₄ با سطح ویژه بالا سنتز شد. نانوصفحات بهینه شده (1:10) g-C₃N₄ به بالاترین فعالیت فتوکاتالیزی با تابش نور UV دست یافتند بطوری که توانستند ۱۰ میلی‌گرم در لیتر رنگزا رودامین بی را در ۶۰ دقیقه، حدود ۹۸ درصد کاهش دهند، که ۶ برابر بیشتر از g-C₃N₄ توهد است. مجیدی و همکارانش در سال ۲۰۲۳ (۶۵)، نانوصفحات کربن نیترید گرافیتی متخلخل با جای خالی کربن از طریق تکلیس g-C₃N₄ توهد در یک کوره به مدت ۲ ساعت در دمای ۵۵۰ درجه سانتی‌گراد را سنتز کردند. محصول سنتز شده با استفاده از XRD، FTIR، FESEM، PL، EDX و BET-BJH BET-BJH مشخصه‌یابی شد. کارایی نوری و توانایی محصول سنتز شده با تجزیه دو رنگزا نساجی آئیونی سنگین، قرمز ۲۲۷ و سیاه ۱۶۶، با نور مرئی ارزیابی شد. برای انجام فرایند فتوکاتالیزی ابتدا ۰/۳۵ گرم از فتوکاتالیست در یک محلول ۵۰ mL از رنگزا قرمز ۲۲۷ و سیاه ۱۶۶ پراکنده شد. پس از تنظیم مقدار pH به ۱/۱ توسط KOH ۰/۱ مولار، بر روی یک همزن مغناطیسی قرار داده شد و به مدت ۳۰ دقیقه در تاریکی همzedه شد تا اطمینان حاصل شود که تعادل جذب - دفع قبل از تابش حاصل شده است. سپس از یک لامپ LED ۸ واتی به عنوان منبع نور مرئی برای تابش سیستم استفاده شد. در طول تابش، ۵ میلی‌لیتر از سوسپانسیون در فواصل منظم (۰-۳۰ دقیقه) گرفته و پس از جداسازی جاذب با گریزانه، مایع رویی توسط اسپکتروفوتومتر اندازه‌گیری شد.

مجیدی و همکارانش نشان دادند بازده تخریب فتوکاتالیزی را می‌توان با اصلاح ساختار فتوکاتالیست با کنترل دما، زمان و نرخ حرارت‌دهی نمونه در طول تکلیس به طور قابل توجهی بهبود بخشید. علاوه بر این آنیون‌هایی مانند OH⁻ می‌توانند سرعت واکنش تخریب را تسريع کنند. همچنین استفاده از فتوکاتالیست سنتز شده برای حذف رنگزا از پساب‌های نساجی با pH قلیایی می‌تواند مقرن به صرفه باشد. رنگزا از پساب‌های نساجی بازده‌های قرمز ۲۲۷ و سیاه ۱۶۶ حاصل شد. نتایج نشان داد که بازده تخریب فتوکاتالیزی را می‌توان با اصلاح ساختار فتوکاتالیست به طور قابل توجهی بهبود بخشید.

فرید و همکارانش در سال ۲۰۲۴ (۶۶)، با استفاده از روش هیدروترمال، نانومیله‌های N-ZnO را با نانوصفحات g-C₃N₄ سنتز کردند و اثر هم‌افزایی آن‌ها را جهت افزایش فعالیت فتوکاتالیزی مورد مطالعه قرار دادند. برای انجام آزمون ساختاری، ریخت و عنصر ماده سنتز شده از XRD، HR-TEM، TEM، EDX، FESEM، XPS و FTIR استفاده شد. تصاویر میکروسکوپ الکترونی عبوری با وضوح بالا

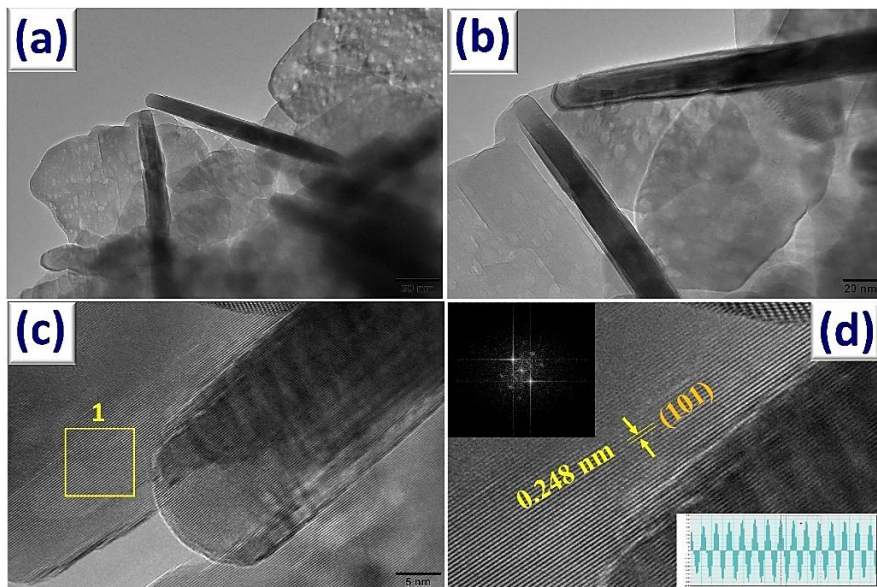
کای و همکارانش سینتیک شبه مرتبه دوم را گزارش کردند. همچنین عملکرد جذب بالای نانوصفحات کربن نیترید گرافیتی را به فراهم بودن مکان‌های جذب متعدد در جاذب سنتز شده و جاذبه‌های الکترواستاتیکی با آلاینده‌ها در آب نسبت دادند. نتایج آن‌ها نشان دادند برهم‌کنش مزدوج p-p و جاذبه الکترواستاتیکی سازوکارهای غالب برای جذب MB بر روی نانوصفحات g-C₃N₄ هستند (۶۱). در تحقیقی توسط یوسفی و همکارانش در سال ۲۰۱۹ (۶۲)، نانوصفحات g-C₃N₄ را به روش هامرز سنتز کردند و سپس نمونه‌ها توسط آزمون‌های مختلف از جمله XPS، SEM، XRD، FTIR، و UV-Vis بررسی شدند و پس از تایید سنتز، نانوصفحات g-C₃N₄ را برای جذب رنگزاها آلی (متیلن بلو (MG)، متیلن اورانژ (RB)، رزبنگال (RB)، رودامین B (RhB)، فوشین بازی (BF)، متیل اورانژ (MO) و تتراساکلین مورد استفاده قرار دادند. برای اندازه‌گیری مقدار جذب رنگزاها و دارو ابتدا ۵ mg از g-C₃N₄ به ۵ mL به اضافه شد و به مدت ۵ ساعت تحت امواج مافوق صوت قرار گرفت. سپس ۱۰ mg رنگزا/دارو اضافه شد و مخلوط به مدت ۱۰ دقیقه تحت امواج مافوق صوت قرار گرفت تا رنگزا/دارو در غلظت اولیه ۲ mg/ml حل شود. برای اطمینان از رسیدن به تعادل جذب، مخلوط به مدت ۲۴ ساعت در دمای اتاق همzedه شد. پس از آن جاذب با گریزانه از محلول رنگزا/دارو اضافه شد و غلظت اولیه و تعادلی رنگزا/دارو سپس مقادیر جذب شده از نتفاوت بین غلظت اولیه و تعادلی رنگزا/دارو محاسبه شد. ظرفیت جذب نانوصفحات g-C₃N₄ برای تتراساکلین ۸۹۵ mg/g و رنگزا آلی ۷۰-۶۰۰ mg/g حاصل شد. در صورتی که ظرفیت جذب g-C₃N₄ در حالت توهد برای جذب تتراساکلین ۳۱۳ بوده است. بنابراین با ساخت نانوصفحات کربن نیترید گرافیتی ظرفیت جذب این ماده افزایش داده شده است. ژانگ^۱ و همکارانش در سال ۲۰۲۰ (۶۳)، ساختارهای متخلخل سه‌تایی نانوصفحات g-C₃N₄/نانوذرات طلا / مونتموریلونیت را برای تخریب رنگزاها آلی سنتز کردند. در این تحقیق نانوصفحات g-C₃N₄ به روش فراصوت سنتز شد. عملکرد نمونه را توسط رنگزاها آلی از جمله متیلن بلو، رودامین G و قرمز کنگو مورد بررسی قرار دادند. بازده به دست‌آمده بیشتر از ۹۰ درصد حاصل شد و بازده نمونه پس از ۱۰ چرخه متوالی همچنان بیشتر از ۹۰ درصد به دست آمده است. این عملکرد می‌تواند به دلیل پایداری نانوصفحات g-C₃N₄ و نانوذرات طلا بر روی مونتموریلونیت باشد. در تحقیقی دیگر توسط میا^۲ و همکارانش در سال ۲۰۱۷ (۶۴)، نانوصفحات g-C₃N₄ را با لايهبرداری از g-C₃N₄ توهد با استفاده از روش شیمیابی توسط اسید سولفوریک غلیظ تهیه کردند. ساختارهای فازی، ریخت و ترکیبات عنصری به ترتیب با پراش پرتو ایکس، میکروسکوپ الکترونی روبشی، میکروسکوپ الکترونی عبوری و طیف‌سنج فوتوالکترون پرتو ایکس مشخص شدند. آنالیزهای جذب نوری و نورتابی

² Miao¹ Zhang

(BN)، نسبت جرم‌های متفاوت از نانوصفحه‌های CoAl-LDH در کامپوزیت‌های g-C₃N₄ (CACN) CoAl-LDH@g-C₃N₄ (CACN) مورد استفاده قرار گرفت. تصاویر گرفته شده تو سطح FE-SEM در شکل ۵ نشان داده شده است. برای بررسی ظاهر و ریخت مواد نانوکامپوزیت CN، CN و CACN مورد استفاده قرار گرفت. CN دارای ساختار لایه‌ای دو بعدی است که در شکل ۵ (a-c) نشان داده شده است، با لایه‌های خاصی که برای ایجاد یک چارچوب نازک و صفحه مانند خم می‌شوند و مکان‌های فعل بیشتری را فراهم می‌کنند که فعالیت فتوکاتالیزی را ممکن می‌سازد. CoAl-LDH در شکل ۵ (d-f) شکل صفحه مانند ناهموار با ابعاد میکرونی غیرهمگن را نشان می‌دهد. با این حال، صفحات CoAl-LDH به عنوان یک لنگر برای تجمع قبل توجه لایه به لایه عمل می‌کنند. ویژگی‌های ساختاری نانوکامپوزیت‌های CACN با نسبت‌های متغیر شکل ۵ (g-i) نشان می‌دهد که صفحات CoAl-LDH بر روی سطح ساختارهای صفحه مانند CN تعبیه شده‌اند. تجمع قبل توجهی از CoAl-LDH با افزایش بیشتر مقدار CoAl-LDH در ترکیب CACN به دست آمد، هنگامی که CoAl-LDH و CN با هم ترکیب می‌شوند، ریزساختار به دست آمده دارای یک شکل صفحه مانند ناسازگار و نامنظم است که مکان‌های فعل بسیاری را با سطح ویژه بیشتر برای فرایندهای فتوکاتالیزی ارائه می‌دهد. علاوه بر این، ساختار تشکیل شده تو سطح CN و CoAl-LDH یک اتصال ناهمنگون الکترونیکی مناسب را ارائه می‌دهد که می‌تواند به طور قابل توجهی نوترکیبی حامل‌های بار را سرکوب کند و پاسخ فتوکاتالیزی را افزایش دهد (۶۷).

نیز برای درک بهتر به دست آمد. با توجه به تصاویر یک ساختار نانوصفحه متخلخل مانند را می‌توان در شکل ۴ (a و b) مشاهده کرد که به CN نسبت داده شده است. علاوه بر این، حاشیه‌های شبکه با ۰/۲۴۸ نانومتر در شکل ۴ (c)، الگوی تبدیل فوریه‌ی سریع (FFT) مرتبط و تصویر FFT معکوس در قسمت داخلی شکل ۴ (d) وصل شده است. این حاشیه‌های مربوط به صفحه (۱۰۱)، وجود نانومیله‌های N-ZO را تأیید می‌کند.

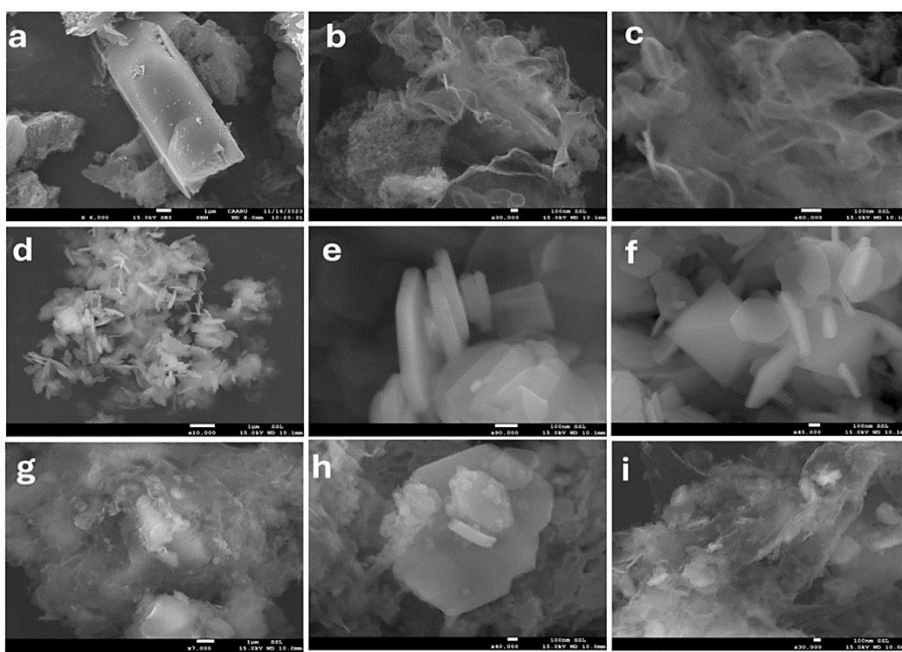
طیف‌سنجی UV-Visible و فوتولومینسانس برای بررسی خواص نوری، محاسبه کاف نوار، توانایی تخریب فتوکاتالیزی MB در اثر تابش خورشید برای ماده سنتز شده را نشان می‌دهد. نتیجه فتوکاتالیزی در طول ۶۰ دقیقه، تخریب ۹۸/۷۷٪، ۹۲/۵٪، ۷۹/۸٪ درصد و ۳۵ درصد به ترتیب توسط CN، N-ZO، ZO/CN و ZO را نشان داد. نتایج حاکی از آن است که تخریب با استفاده از ۱/۲ N-ZnO/g-C₃N₄ ۲/۸ N-ZnO/g-C₃N₄ و ۰-N-ZnO/g-C₃N₄ نسبت داد، که جداسازی و انتقال بار کارآمد را تسهیل کرد. علاوه بر این، آزمون پایداری برای ۸ چرخه با تجزیه و تحلیل XRD و FTIR ارائه شده است. این آزمون‌ها پایداری استثنایی و قابلیت استفاده مجدد کامپوزیت N-ZnO/g-C₃N₄ را نشان داد. ماریدوارو و همکارانش در سال ۲۰۲۴ (۶۷)، یک فتوکاتالیست متشکل از کربن نیترید گرافیتی (CN) و CoAl-LDH در یک سوسپانسیون متابولی برای حذف آلاینده‌های آب را سنتز کردند. سپس برای بررسی تاثیر بر تخریب آلاینده رنگزای بریلیانت بلک



شکل ۴: تصاویر HRTEM از N-ZO/CN در (a) ۵۰ نانومتر، (b) ۲۰ نانومتر، (c) ۵ نانومتر با (d) مربوطه و تصویر FFT معکوس در داخل (۶۶).
Figure 4 :HRTEM images of N-ZO/CN at (a) 50 nm, (b) 20 nm, (c) 5 nm with (d) corresponding FFT and inverse FFT image inset (66).

² Maridevaru

¹ Fast Fourier Transform



شکل ۵: تصاویر از FE-SEM از (a-c) نانوصفحات g-C₃N₄، (d-f) فوتوکاتالیست‌های نانوکامپوزیتی CoAl-LDH و (g-i) فوتوکاتالیست‌های نانوکامپوزیتی 5-CACN (۶۷).

Figure 5: FE-SEM images of (a–c) g-C₃N₄ nanosheets, (d–f) CoAl-LDH nanoplates, and (g–i) 5-CACN nanocomposite photocatalysts(67).

فوتوکاتالیست‌های فعال سنتز کردند. فازهای بلوری و بی‌شكل نانوکامپوزیت‌های حاوی MWCNTs و GCN هر دو با تجزیه و تحلیل XRD تأیید شدند، که همچنین نشان داد شدت الگوهای پراش MWCNT با افزایش غلظت GCN افزایش می‌یابد. با استفاده از طیف‌سنجی FT-IR، گروههای عاملی سطحی مواد مورد ارزیابی قرار گرفتند. با توجه به شکل ۷، تصاویر TEM تأیید کردند که نانوصفحات GCN به MWCNT‌ها متصل شده‌اند. رنگزا کریستال ویولت (CV) در حضور نور خورشید به صورت فوتوکاتالیزی تجزیه شد و اثرات هم‌افزایی MWCNT/GCN NCs و GCN مورد بررسی قرار گرفت. با بازده تخریب ۹۹/۳۲ درصد، بهترین فعالیت فوتوکاتالیزی با تابش نور خورشید را برای تخریب رنگزا کریستال ویولت (CV) نشان دادند.

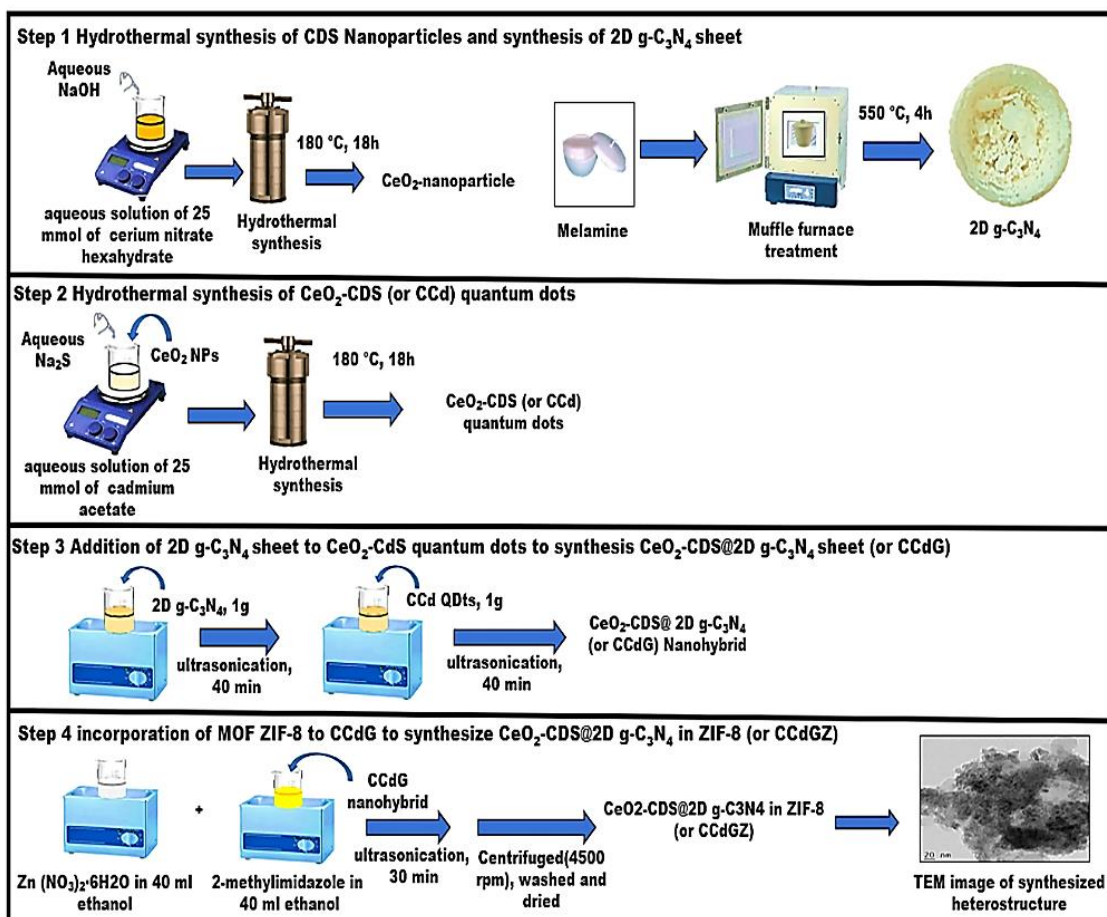
۳-۲- ساخت نانومیله‌های کربن نیترید گرافیتی و تاثیر بر عملکرد آن در حذف رنگزها
با توجه به کاف نوار مناسب و پایداری بالا، g-C₃N₄ می‌تواند گزینه‌ای میدوار کننده برای تخریب فوتوکاتالیزی آلاینده‌ها باشد (۷۰). با این حال g-C₃N₄، اشکالات ذاتی از جمله ترکیب سریع بار و انتشار جرم ضعیفی را دارد (۷۱). برای افزایش کارایی g-C₃N₄، نانوساختارهای یک بعدی نقش مهمی در فعالیت فوتوکاتالیزی دارند.

نمونه با ۵ درصد وزنی CoAl-LDH@g-C₃N₄ (5-CACN) به عنوان موثرترین کاتالیست شناخته شد و کارایی حذف رنگزا از طریق تخریب فوتوکاتالیزی را تا ۷۹ درصد نشان داد. گوپتا^۱ و همکارانش در سال ۲۰۲۴ (۶۸)، یک مسیر مصنوعی هیدروترمال طبق شکل ۶ را برای ساخت فوتوکاتالیست CCdGZ (CeO₂/CdS/g-C₃N₄ @ZIF8) برای از نانوصفحات g-C₃N₄ استفاده شده است را انجام دادند تا مجموعه‌ای از رنگزاهای خطرناک را از جریان‌های پساب حذف کنند. آزمون‌های مربوط به ساختار، ریخت و عنصری، سنتز فوتوکاتالیست CCdGZ را مورد تایید قرار دادند. پاسخ‌های نوری فوتوکاتالیست با استفاده از طیف‌سنجی UV-vis و روش طیف‌سنجی بازتابش-UV-Diffuse (UV-DRS) مورد بررسی قرار گرفت. با تابش نور مرئی، فوتوکاتالیست CCdGZ رنگزا ویکتوریا آبی (VBR) را در مدت ۵۵ دقیقه به میزان ۹۶/۵۴ درصد تخریب کرد. با نور، CCdGZ بالایی از رادیکال‌های O₂⁻ و OH⁻ تولید شد، بنابراین کامپوزیت CCdGZ رنگزا VBR را سریع‌تر از g-C₃N₄ و CdS و تجزیه کرد. همچنین CCdGZ قابلیت استفاده مجدد را تا ۹۰ درصد تا اجرای چرخه پنجم نشان داد.

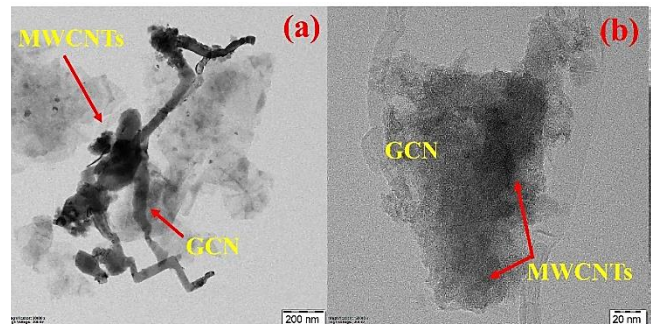
هاریکریشنان^۲ و همکارانش در سال ۲۰۲۴ (۶۹)، نانوکامپوزیت نانولوله‌ای کربنی چند جداره (MWCNTs) / g-C₃N₄ (GCN) را توسط یک فرایند هیدروترمال به کمک فراصوت برای تولید

² Harikrishnan

¹ Gupta

شکل ۶: مراحل ساخت .(۶۸) CeO₂-CdS@ 2D g-C₃N₄ in ZIF8 (CCdGZ)Figure 6: Stepwise fabrication of CeO₂-CdS@ 2D g-C₃N₄ in ZIF8 (or CCdGZ) heterostructure (68).

فریت نیکل (NiFe₂O₄), فریت کبالت (CoFe₂O₄)، Fe₃O₄ و Fe₂O₃ به g-C₃N₄ به دلیل خاصیت مغناطیسی آنها، توجه زیادی را جلب کرده‌اند. رفتار مغناطیسی مواد به جداسازی آسان با یک میدان مغناطیسی خارجی کمک می‌کند و یک مزیت برای فرایند فتوکاتالیزی محسوب می‌شود (۷۴، ۷۳، ۵۸). در تحقیقی، نبی و همکاران در سال ۲۰۲۰ نانومیله‌های g-C₃N₄ را برای تجزیه فتوکاتالیزی متیلن بلو، متیل اورانث و روdamین-B با نور مرئی سنتز کردند. نانومیله‌های g-C₃N₄ با استفاده از ملامین و روش هیدروترمال سنتز شده‌اند و با طیف گستره‌های از روش‌های مشخصه‌یابی مانند XRD، SEM، PL، EDX و FTIR مورد بررسی قرار گرفتند. اثر آنها بر تخریب رنگرهای آلی مذکور همراه با بررسی تأثیر عوا مل pH مطالعه قرار گرفت. بازده فعالیت فتوکاتالیزی نمونه‌ها نشان داده است که در مقادیر pH از صفر تا پنج و از هشت تا دوازده، نانومیله‌های g-C₃N₄ کارایی بهتری برای تخریب رنگزای روdamین بی دارند. علاوه بر این، نشان دادند که g-C₃N₄ پایداری خوبی برای عملکرد فتوکاتالیزی نسبت به رنگرهای مذکور دارد. همچنین مشاهده شد که رادیکال سوپراکسید (O₂^{•-}) و حفره‌ها (h⁺)



شکل ۷: تصاویر TEM از NC های ترکیبی با بزرگنمایی های مختلف (الف) ۲۰۰ نانومتر، (ب) ۲۰ نانومتر (۶۹).

Figure 7: TEM images of amphiphilic MWCNTs/GCN hybrid NCs with various magnifications (a) 200 nm, (b) 20 nm (69).

عملکرد فتوکاتالیستی افزایش یافته نانومیله g-C₃N₄، ناشی از نرخ کم نوترکیبی جفت‌های الکترون/حفره می‌باشد. همچنین ریخت نانومیله‌های g-C₃N₄ برای بهبود مکان‌های فعال سطح مفید است (۷۲). افزودن مواد مغناطیسی از جمله فریت مس (CuFe₂O₄)، فریت روی (ZnFe₂O₄)،

در صد حذف رنگزا متیل اورانژ را نشان داد. چانگ^۳ و همکاران در سال ۲۰۱۹^۴، طی یک واکنش پلیمریزاسیون حرارتی یک مرحله‌ای، نانولوله‌های g-C₃N₄ را با استفاده از بلورهای ملامین سنتز کردند. یون‌های فلزات واسطه (Mn²⁺, Ni²⁺, Co²⁺, Fe⁺³) برای اولین بار برای رشد بلورهای ملامین استفاده شدند. نمونه (Fe³⁺R-650 CN) به عنوان نانولوله‌های g-C₃N₄ با یون‌های Fe⁺³ بهترین عملکرد فوتوکاتالیزی را در تخریب فوتوکاتالیزی رودامین B نشان داد. نتایج نشان داد که مقدار تخریب رنگزا توسط نمونه مذکور دو برابر بیشتر از g-C₃N₄ توده بوده است. چانگ^۳ و همکاران در سال ۲۰۱۹^۵، یک فوتوکاتالیست مبتنی بر نانولوله متخلخل g-C₃N₄ که با نانوذرات سولفید کادمیوم (CdS) اصلاح شد را توسط روش هیدروترمال ساختند. ساختار متخلخل یک بعدی g-C₃N₄ با سطح ویژه بالاتر، جذب نور را افزایش داده و عملکرد جداسازی و انتقال بهتر حامل‌های بار را فراهم می‌کند، که همگی به طور هم‌افزایی به فعالیت فوتوکاتالیزی برتر مشاهده شده کمک کرد. نانولوله‌های g-C₃N₄ تقریباً ۵۹/۲ درصد از رنگرا را در مدت ۶۰ دقیقه پس از تابش تخریب کرد. لیا^۶ و همکارانش در سال ۲۰۲۱^۷، طی یک روش ساده تک مرحله‌ای رسوب شیمیایی بخار به g-C₃N₄ لوله‌ای اجازه دادند تا بر روی چارچوب کربن رشد کند. با توجه به سطح ویژه بالای g-C₃N₄ لوله‌ای، افزایش جذب نور مسئی مشاهده شد. اثرات دوگانه جذب استاتیک و تجزیه نوری، چارچوب g-C₃N₄/کربن را قادر می‌سازد تا به سرعت حدود ۹۸ درصد متیلن بلو را در مدت زمان ۱۸۰ دقیقه حذف کند. زی^۵ و همکارانش در سال ۲۰۱۹^۸، ابتدا نانولوله‌های هیبریدی g-C₃N₄ را ساختند و سپس ذرات کلرید نقره (AgCl) را با اندازه متوسط ۲۰ نانومتر به طور یکنواخت بر روی سطح نانولوله g-C₃N₄ با استفاده از رسوب فرآصوت در جا قرار دادند. عملکرد فوتوکاتالیزی آن جهت تخریب رنگرا رودامین بی تحت تابش نور مسئی مورد بررسی قرار داده و بازده تخریب تا ۹۲/۲ درصد حاصل شد. علاوه بر این، مدل سینتیک شبه مربته اول برای تجزیه نوری رنگرا به دست آمد. حبیبی و کریمی در سال ۲۰۲۳^۹، برای تقویت تخریب نوری آلاینده‌های آلی از جمله متیلن بلو و متیل اورانژ، نانوکامپوزیت لوله‌ای مزوحفه (FCN) (g-C₃N₄/ γ -Fe₂O₃) را سنتز کردند. داده‌های FTIR و XRD وجود نانوذرات (g-C₃N₄/ γ -Fe₂O₃) را ثابت کردند. FCN بالاترین نرخ فعالیت را نسبت به تخریب نوری متیلن بلو و متیل اورانژ با بازده ۹۶/۱ و ۹۸/۳ به ترتیب نشان داد که نشان دهنده مکان‌های فعال بیشتر و افزایش جذب مولکولهای هدف است.

خلاصه نتیجه تحقیقات پیشین در زمینه حذف رنگراها توسط نانوساختارهای g-C₃N₄ با استفاده از فرایندهای فوتوکاتالیزی و جذب سطحی در جداول ۱ و ۲ ارائه شده است.

نقش عمده‌ای در تخریب رنگراها ایفا کرده‌اند. در تحقیقی دیگر توسط لو^۱ و همکارانش در سال ۲۰۱۹^{۱۰}، جهت سنتز نانومیله‌های g-C₃N₄ ۳۰ میلی‌لیتر از محلول g-C₃N₄ به ۷۵ میلی‌لیتر محلول KOH اضافه شد. سپس ۵ mol/L اسید نیتریک اضافه شد تا pH ۵ بر سد. پیش‌ماده به دست آمده را با آب دیونیزه شده شستشو داده و آن را خشک کردند. سپس نانومیله‌های g-C₃N₄، پس از گرم کردن پیش‌ماده در دمای ۵۰۰ درجه سانتی‌گراد به مدت ۴ ساعت سنتز شد. با توجه به نتایج، سطح ویژه نانومیله g-C₃N₄ برابر با ۶۰/۹۵ m²/g و سطح ویژه g-C₃N₄ در حالت توده برابر با ۸/۲۲ m²/g است. سطح ویژه g-C₃N₄ در حالت نانومیله ۷/۴ است. برابر بیشتر از سطح ویژه در حالت توده می‌باشد. با توجه به نتایج عملکردی، ظرفیت جذب متیلن بلو توسط g-C₃N₄ توده برابر با mg ۲/۶۴ g^{-۱} و تو سط نانومیله‌های g-C₃N₄ برابر با ۱۷/۷۱ m²/g بوده است. ظرفیت جذب نانومیله g-C₃N₄ توده بیشتر است. بنابراین ظرفیت جذب به دلیل افزایش سطح ویژه نانومیله‌ها بیشتر شده است.

اخیراً، نانوصفحات دو بعدی به دلیل ویژگی‌های ساختاری منحصر به فرد خود مانند سطح ویژه بالا و فاصله کوتاه برای انتقال بار، پتانسیل زیادی در تجزیه و تحلیل فوتوکاتالیزی نشان داده‌اند. با در نظر گرفتن ساختار گرافیتی لایه‌ای g-C₃N₄ توده، لایه‌برداری g-C₃N₄ برای تشکیل نانوصفحات g-C₃N₄ راهی امیدوارکننده برای بهبود فعالیت فوتوکاتالیزی آن است^{۱۱}. نانوصفحات g-C₃N₄ با فعالیت فوتوکاتالیزی برجسته حاصل از سطح منحصر به فرد و خصوصیات الکترونیکی آن، توسط لایه‌برداری فاز مایع، حرارتی و قلیایی به دست آمده است^{۱۲}. با این وجود، نانوصفحات g-C₃N₄ محدودیت‌هایی دارند، از جمله توانایی جذب نور ضعیف آن به دلیل اثر حبس کوانتوم در واکنش فوتوکاتالیزی، که کاربرد عملی آنها برای تبدیل انرژی خورشیدی را مهار می‌کند. بنابراین، بهینه‌سازی خصوصیات نوری و فیزیک و شیمیایی نانوصفحات g-C₃N₄ برای به دست آوردن فعالیت تکامل فوتوکاتالیزی بالاتر H₂ بسیار مطلوب است. نانولوله‌های g-C₃N₄، به دلیل توانایی جلوگیری از تجمع کنترل نشده نانوصفحات، توجهات بیشتری را به خود جلب کرده است. علاوه بر این، ساخت نانولوله‌های g-C₃N₄ دارای برخی مزایای منحصر به فرد، از جمله افزایش جذب نور مسئی و توانایی پراکنده‌گی، مسیرهای انتقال بار بهتر در واکنش فوتوکاتالیزی است^{۱۳، ۱۴}. در تحقیقی توسط همتی و همکارانش در سال ۲۰۲۱^{۱۵}، فوتوکاتالیست دی‌آنتیوون مولیبدات (Sb₂MoO₆) با نانولوله‌های g-C₃N₄ (GCN) نانولوله با روش تقطیر برگشتی ساده گزارش شد. از آن برای تخریب رنگراهای رودامین بی، فوشین و متیل اورانژ استفاده شد. با تحریک نور مسئی، نانولوله Sb₂MoO₆ / GCN نسبت به g-C₃N₄ فعالیت بیشتری نشان داد. نانولوله‌های g-C₃N₄ با فرایند فوتوکاتالیزی ۵۳

^۴ Li^۵ Xie^۶ In-situ ultrasonic precipitation^۱ Luo^۲ Jiang^۳ Chong

جدول ۱: خلاصه نتیجه تحقیقات پیشین در زمینه حذف رنگ‌ها توسط نانوساختارهای g-C₃N₄ با استفاده از فرایند فتوکاتالیزی.

Table 1. Summary results of previous research in the field of dyes removal by g-C₃N₄ nanostructures using the photocatalytic process.

NO	Year	g-C ₃ N ₄ Structure	Synthesis method	Pollutant	Efficiency	Ref.
1	2017	Nanosheet	Chemical	Rhodamine B	98%	(64)
2	2018	Nanosheet	Thermal	Methylene blue	61.9 mg/g	(60)
3	2018	Nanotubes	Ultrasonication	Rhodamine B	92.2%	(83)
4	2019	Nanotubes	Thermal polymerizing	Rhodamine B	2 times g-C ₃ N ₄ <	(80)
5	2019	Nanotubes	Hydrothermal	Rhodamine B	59.2%	(81)
6	2020	Nanosheet	Ultrasonication	Organic Dyes	90% <	(63)
7	2020	Nanorod	Hydrothermal	Methylene blue, Methylene orange and Rhodamine B	97% 99% 99.9%	(74)
8	2021	Nanotubes	Reflux	Methylene orange	53%	(79)
9	2021	Nanotubes	CVD	Methylene blue	98%	(82)
10	2023	Nanotubes	Thermal polymerizing	Methylene blue and Methylene orange	96.1% 98.3%	(84)
11	2023	Nanosheet	Thermal	Red 227 and Black 166	91.5% 77.6%	(65)
12	2024	Nanosheet	Hydrothermal	Methylene blue	98%	(66)
13	2024	Nanosheet	sonicating	Brilliant Black	79%	(67)
14	2024	Nanosheet	Hydrothermal	Victoria blue R	96.54%	(68)
15	2024	Nanosheet	Hydrothermal	Crystal violet	99.32%	(69)
16	2024	bulk	Thermal	MB RhB MO	MB < RhB < MO	(32)

جدول ۲: خلاصه نتیجه تحقیقات پیشین در زمینه حذف رنگ‌ها توسط نانوساختارهای g-C₃N₄ با استفاده از فرایند جذب سطحی.

Table 2. Summary results of previous research in the field of dyes removal by g-C₃N₄ nanostructures using the adsorption process.

NO	Year	g-C ₃ N ₄ Structure	Synthesis method	Pollutant	Adsorption Capacity	Ref.
1	2017	Nanosheet	Thermal	Methylene blue and Cd ²⁺	42.1 mg/g	(61)
2	2018	Nanosheet	Thermal	Methylene blue	61.9 mg/g	(60)
3	2019	Nanosheet	Hummers	Organic dyes and Tetracycline	70-600 mg/g	(62)
4	2019	Nanorod	Thermal	Methylene blue	17.71 mg/g	(58)
5	2023	Nanosheet	Thermal	Methylene blue	54.3 mg/g	(18)
6	2024	bulk	Thermal	MB RhB MO	MB < RhB < MO	(32)

۴- نتیجه‌گیری

تهنشنینی، تبادل یونی و جذب سطحی صورت می‌گیرد. در میان روش‌های مختلف حذف آلاینده‌ها، جذب سطحی و تخریب فتوکاتالیزی به دلیل بازده بالا، سادگی و قابلیت استفاده گسترده،

ورود آلاینده‌های آلی، بهویژه مواد رنگرا، به محیط‌زیست چالش بزرگی برای سلامت انسان و اکوسيستم‌ها ایجاد کرده است. حذف آلاینده‌ها توسط فرایندهای متفاوتی از جمله فتوکاتالیزی، اسمز معکوس،

جهت توسعه راهکارهای کارآمدتر برای حذف آلاینده‌های مقاوم و بررسی تأثیر شرایط عملیاتی (شدت نور، نوع آلاینده‌ها و pH) بر عملکرد نانوساختارهای g-C₃N₄ و تمرکز کنند. این پژوهش، با ارائه درکی جامع از مزایا و چالش‌های g-C₃N₄، مسیر را برای طراحی و توسعه نانوموادی نوین با کارایی بالاتر در حذف آلاینده‌های محیطی هموار می‌کند.

تشکر و قدردانی

بدینوسیله از حمایت‌های دانشگاه سمنان که ما را در انجام این تحقیق یاری کردند، صمیمانه تشکر می‌کنم.

تعارض منافع:

هیچ گونه تعارض منافع توسط نویسنده‌گان بیان نشده است.

مورد توجه ویژه قرار گرفته‌اند. کربن نیترید گرافیتی (g-C₃N₄) به عنوان یک نیمه رسانای پلیمری بدون فلز، به دلیل فعالیت در زیر نور مرئی با کاف نوار مناسب، غیر سمی بودن، پایداری شیمیایی بالا و روش‌های آماده‌سازی راحت به عنوان یکی از مواد جاذب و فوتوکاتالیزی منتخب شناخته می‌شود و به دلیل سنتز آسان، بزرگ بودن مساحت سطح و پایداری خیلی خوب مورد توجه قرار گرفته است. با این حال، خاصیت ضعیف g-C₃N₄ در مقیاس توده، کاربردهای آن را محدود می‌کند. روش‌های مختلفی مانند دوب کردن، تغییر ریخت و ترکیب مواد برای غلبه بر این نقص‌ها اتخاذ شده‌اند. نتایج تحقیقات پیشین نشان دادن که نانوساختارهای (نانوصفحات، نانولوله‌ها، نانومیله‌ها و غیره) کربن نیترید گرافیتی و همچنین ترکیب نانوساختارهای کربن نیترید گرافیتی یا کربن نیترید گرافیتی توده با مواد دیگر باعث بهبود و افزایش عملکرد فرایندهای جذب و فوتوکاتالیزی نسبت به حالت توده شده است. با توجه به یافته‌های این مطالعات، تحقیقات آینده می‌توانند بر مواردی از جمله: مطالعه برهم‌کنش نانوساختارهای g-C₃N₄ با آلاینده‌های پیچیده‌تر

-۵- مراجع

- Chen Z, Zhang S, Liu Y, Alharbi NS, Rabah SO, Wang S, et al. Synthesis and fabrication of g-C₃N₄-based materials and their application in elimination of pollutants. *Sci Total Environ.* 2020;731:139054. <https://doi.org/10.1016/j.scitotenv.2020.139054>.
- Lanjwani MF, Tuzen M, Khuhawar MY, Saleh TA. Trends in photocatalytic degradation of organic dye pollutants using nanoparticles: A review. *Inorg Chem Commun.* 2024;159: 111613. <https://doi.org/10.1016/j.inoche.2023.111613>.
- Sumethra R, Jayakumari T, Anuradha N, Ravichandran K, Varshini M, Ayyanar M, et al. Effect of nanocomposite partnering of g-C₃N₄ with Morinda pubescens leaf extract mediated Sr doped Ni/NiO on the photocatalytic dye detoxification: Confirmation by seed germination test. *Diam Relat Mater.* 2024;150: 111716. <https://doi.org/10.1016/j.diamond.2024.111716>.
- Jalalian T, Keramati N, Fallah N. A review of reduced electron/hole recombination in coupled photocatalysts for dyes degradation. *J Stud Color World.* 2023;12(4): 293–314. <https://dorl.net/dor/20.1001.1.22517278.1401.12.4.1.2> [In Persian].
- Gharagozlu M, Mohammadsadegh A. Smart nanocomposites of metal-organic framework (mof) and their applications in removing dye and environmental pollutants. *J Stud. Color World.* 2024;14(2): 87–101. <https://dorl.net/dor/10.30509/jscw.2023.81974> [In Persian].
- Shiri M, Hosseinzadeh M, Javanshir S, Shiri S. Synthesis of MOF-5 / cellulose aerogel composite and investigation of its performance in removing methylene blue dye. *J Stud Color World.* 2024;14(3):193–203. <https://doi.org/10.30509/jscw.2024.167288.1188> [In Persian].
- Hosseini Naeini A, Kalaei MR, Moradi O, Mahmoodi NM. Investigating factors affecting the removal of dyestuff from wastewater using different nanocomposites: a review Study. *J Stud Color World.* 2023;12(4):343–368. <https://dorl.net/dor/20.1001.1.22517278.1401.12.4.4.5> [In Persian].
- Keerthana S, Yuvakkumar R, Ravi G, Kungumadevi L, Ravi Sankar V. Hydrothermal synthesis of CeVO₄/g-C₃N₄ Z-scheme photocatalyst for removal of dyes under photocatalysis. *Inorg Chem Commun.* 2024;168:112928. <https://doi.org/10.1016/j.inoche.2024.112928>.
- Khezami L, Bessadok A, Ali Ben Aissa M, Ahmed AH, Modwi A, Benhamadi N, et al. Revolutionizing dye removal: g-C₃N₄-Modified ZnO nanocomposite for exceptional adsorption of basic fuchsin dye. *Inorg Chem Commun.* 2024;164: 112413. <https://doi.org/10.1016/j.inoche.2024.112413>.
- Upadhyay GK, Purohit LP, Sharma H, Jain N, Sharma SK. Z-scheme based photoactive ZnO:TiO₂:CdO:g-C₃N₄ nanocomposites for advance oxidation process. *J Mol Struct.* 2025;1319:139366. <https://doi.org/10.1016/j.molstruc.2024.139366>.
- YarAhmadi G, Keramati N. Reduced electron/hole recombination in Z-scheme nanostructure of zeolitic imidazolate framework-11/graphitic carbon nitride as photocatalyst under visible light. *Sci Rep.* 2023;13(1): 22547. <https://doi.org/10.1038/s41598-023-49315-7>.
- Lakayan S, Baharlouei A, Jalilnejad E. Application of Agricultural Wastes as Natural Adsorbent for Removal of Industrial Dyes Graphical abstract. *J Stud Color World.* 2016;6(4): 27–43. <https://doi.org/20.1001.1.22517278>.

- 1395.6.4.4.3[In Persian].
13. karimi zahra, Allahverdi A, Oshani F. Investigation on the Removal of Dyes from Wastewater Using Alumina Composite Nano Adsorbent. *J Stud Color World.* 2020;10(2): 41–59. <https://doi.org/20.1001.1.22517278.1399.10.2.4.7>[In Persian].
14. Mortazavi Milani SH, Sabbagh Alvani AA, Salimi R, Sameie H. The Study of Methods for the Degradation of Organic Dyes by Photocatalytic Nanoparticles Using Plasmonic Property. *J Stud Color World.* 2019;9(2): 1–8. <https://doi.org/20.1001.1.22517278.1398.9.2.2.8>[In Persian].
15. Farzaneh Kondori F, Badii K, Masoomi M. Study of Dyes Removal from Industrial Wastewaters by Nano Adsorbents. *J. Stud. Color World.* 2012;2(1): 1. <https://doi.org/https://dorl.net/dor/20.1001.1.22517278.1391.2.1.6.1>[In Persian].
16. Saadati F, Keramati N, Ghazi MM. Influence of parameters on the photocatalytic degradation of tetracycline in wastewater: A review. *Crit Rev Environ Sci Technol.* 2016;46(8):757–782. <https://doi.org/10.1080/10643389.2016.1159093>.
17. Hassan AE, Elewa AM, Hussien MSA, EL-Mahdy AFM, Mekhemer IMA, Yahia IS, et al. Designing of covalent organic framework/2D g-C₃N₄ heterostructure using a simple method for enhanced photocatalytic hydrogen production. *J. Colloid Interface Sci.* 2024;653: 1650–1661. <https://doi.org/10.1016/j.jcis.2023.10.010>.
18. Farhadi H, Keramati N. Investigation of kinetics, isotherms, thermodynamics and photocatalytic regeneration of exfoliated graphitic carbon nitride/zeolite as dye adsorbent. *Sci Rep.* 2023;13(1): 14098. <https://doi.org/10.1038/s41598-023-41262-7>.
19. Al-Zawahreh K, Barral MT, Paradelo R. Overview of factors to take into account when selecting high-grade dye adsorbents. *Environ. Technol. Rev.* 2024;13(1): 597–613. <https://doi.org/10.1080/21622515.2024.2404650>.
20. Sakkaki M, Arab SM. Non-catalytic applications of g-C₃N₄: A brief review. *Synth Sinter.* 2022;2(4): 176–180. <https://doi.org/10.53063/synsint.2022.24126>.
21. Barveen NR, Parasuraman B, Wang PY, Zeng CW, Cheng YW, Thangavelu P. Facile construction of ZnWO₄/g-C₃N₄ heterojunction for the improved photocatalytic degradation of MB, RhB and mixed dyes. 2024;53(2): 105039. <https://doi.org/10.1016/j.surfin.2024.105039>.
22. Akram MY, Ashraf T, Tong L, Yin X, Dong H, Lu H. Architecting high-performance photocatalysts: A review of modified 2D/2D graphene/g-C₃N₄ heterostructures. *J. Environ. Chem. Eng.* 2024;12(5): 113415. <https://doi.org/10.1016/j.jece.2024.113415>.
23. Baran NY, Çalışkan M, Kızılbulut N, Baran T. Pd@Na-CMC/g-C₃N₄: A nanostructured catalyst system based on sodium carboxymethyl cellulose/graphitic carbon nitride hydrogel beads and its performance in the treatment of organic and inorganic pollutants in water. *Int. J. Biol. Macromol.* 2024;276: 134001. <https://doi.org/10.1016/j.ijbiomac.2024.134001>.
24. Zhang H, Zhang J, Chen W, Tao M, Meng X, Zhang Y, et al. Insight into structure evolution of carbon nitrides and its energy conversion as luminescence. 2024;6(2): 134001. <https://doi.org/10.1002/cey.2.463>.
25. Yurova VY, Potapenko KO, Aliev TA, Kozlova EA, Skorb E V. Optimization of g-C₃N₄ synthesis parameters based on machine learning to predict the efficiency of photocatalytic hydrogen production. *Int J Hydrogen Energy.* 2024;81: 193–203. <https://doi.org/10.1016/j.ijhydene.2024.07.245>.
26. Khan MA, Mutahir S, Shaheen I, Qunhui Y, Bououdina M, Humayun M. Recent advances over the doped g-C₃N₄ in photocatalysis: A review. *Coord. Chem. Rev.* 2025;522: 216227. <https://doi.org/10.1016/j.ccr.2024.216227>.
27. Joy J, George E, Poornima Vijayan P, Anas S, Thomas S. An overview of synthesis, morphology, and versatile applications of nanostructured graphitic carbon nitride (g-C₃N₄). *J Ind Eng Chem.* 2024;133: 74–89. <https://doi.org/10.1016/j.jiec.2023.12.016>.
28. Gaddam SK, Pothu R, Boddula R. Graphitic carbon nitride (g-C₃N₄) reinforced polymer nanocomposite systems—A review. *Polym. Compos.* 2020;41(2): 430–442. <https://doi.org/10.1002/pc.25410>.
29. Kumar R, Gokul S, Ran F, Sambasivam S, Alrashidi KA, Thangappan R. Green synthesis of g-C₃N₄ decorated with SnO₂ nanocomposites using a novel Ananas comosus crown extract for boosted performance of asymmetric supercapacitors. *J Energy Storage.* 2024;98: 113231. <https://doi.org/10.1016/j.est.2024.113231>.
30. Saman F, Se Ling CH, Ayub A, Rafeny NHB, Mahadi AH, Subagyo R, et al. Review on synthesis and modification of g-C₃N₄ for photocatalytic H₂ production. *Int. J. Hydrogen Energy.* 2024;77: 1090–1116. <https://doi.org/10.1016/j.ijhydene.2024.06.212>.
31. Xiang-Xue W, Xing L, Jia-Qi W, Hong-Tao Z. Recent Advances in Carbon Nitride-Based Nanomaterials for the Removal of Heavy Metal Ions from Aqueous Solution. *J Inorg Mater.* 2019;35(3): 436. <https://doi.org/10.15541/jim20190436>.
32. Claudio CH, Scola Rodrigues B, Marinho Factori I, dos Santos de Souza J. Microwave Synthesis of (g-C₃N₄)-BiVO₄: Selective Adsorption and Photocatalytic Activity Towards Dye Degradation. 2024;9(12): e202400076. <https://doi.org/10.1002/slct.202400076>.
33. Ismael M. Construction of novel Ru-embedded bulk g-C₃N₄ photocatalysts toward efficient and sustainable photocatalytic hydrogen production. *Diam Relat Mater.* 2024;144: 111024. <https://doi.org/10.1016/j.diamond.2024.111024>.
34. Kalidasan K, Mallapur S, Munirathnam K, Nagarajaiah H, Reddy MBM, Kakarla RR, et al. Transition metals-doped g-C₃N₄ nanostructures as advanced photocatalysts for energy and environmental applications. *Chemosphere.* 2024;352: 141354. <https://doi.org/10.1016/j.chemosphere.2024.141354>.
35. Dong Z, Yang T, Ullah I, Irshad N, Xue S. The influence of morphological changes on the physicochemical and optical properties of g-C₃N₄. *Ceram Int.* 2024;50(10): 17882–17889. <https://doi.org/10.1016/j.ceramint.2024.02.276>.
36. Malebadi KA, Seheri NH, Ojelere O, Onwudiwe DC. ZnO nanoparticles modified with g-C₃N₄: Optical and structural properties. *Mater. Sci Eng. B.* 2024;310: 117676. <https://doi.org/10.1016/j.mseb.2024.117676>.
37. Swathi S, Yuvakkumar R, Ravi G, Arunmetha S, Arun A, Velauthapillai D. Bayberry-like Cu₃Bi₂S₃ with 2D layered nanosheets of rGO and g-C₃N₄ for effective electrochemical HER activity. *Int J Hydrogen Energy.* 2024;49: 295–308. <https://doi.org/10.1016/j.ijhydene.2023.07.279>.
38. Drdanová AP, Krajčovičová TE, Gál M, Nemčeková K, Imreová Z, Ryba J, et al. Unveiling Versatile Applications and Toxicity Considerations of Graphitic Carbon Nitride. *Int J Mol Sci.* 2024;25(14): 7634. <https://doi.org/10.3390/10.3390/25147634>.

- /ijms25147634.
39. Huang J, Klahn M, Tian X, Dai X, Rabeh J, Aladin V, et al. Exfoliated Polymeric Carbon Nitride Nanosheets for Photocatalytic Applications. *ACS Appl. Nano Mater.* 2024;7(7): 7442–7452. <https://doi.org/10.1021/acsnanm.4c00133>.
40. Pei J, Li H, Zhuang S, Zhang D, Yu D. Recent Advances in g-C₃N₄ photocatalysts: a review of reaction parameters, structure design and exfoliation methods. *Catalysts*. 2023;13(11):1402. <https://doi.org/10.3390/catal13111402>.
41. Michalska M, Pavlovsky J, Simha Martynkova G, Kratosova G, Hornok V, Nagy PB, et al. Comparative study of photocatalysis with bulk and nanosheet graphitic carbon nitrides enhanced with silver. *Sci Rep.* 2024;14(1): 11512. <https://doi.org/10.1038/s41598-024-62291-w>.
42. Zhao X, Yu J, Meng T, Luo Y, Fu Y, Li Z, et al. Modulation of the microstructure and enhancement of the photocatalytic performance of g-C₃N₄ by thermal exfoliation. *Bull. Chem. React. Eng. Catal.* 2024;19(3): 442–454. <https://doi.org/10.9767/bcrec.20189>.
43. Jiang X, Li X, Liu Y, Zhai H, Wang G. The oxidative thermal exfoliation-dependent microstructure and photocatalytic performance of g-C₃N₄ nanosheets. *Diam Relat Mater.* 2024;143: 110918. <https://doi.org/10.1016/j.diamond.2024.110918>.
44. Chegeni M, Mousavi Z, Soleymani M, Dehdashtian S. Removal of aspirin from aqueous solutions using graphitic carbon nitride nanosheet: Theoretical and experimental studies. *Diam Relat Mater.* 2020;101: 107621. <https://doi.org/10.1016/j.diamond.2019.107621>.
45. Ganesan S, Kokulnathan T, Sumathi S, Palaniappan A. Efficient photocatalytic degradation of textile dye pollutants using thermally exfoliated graphitic carbon nitride (TE-g-C₃N₄). *Sci Rep.* 2024;14(1): 2284. <https://doi.org/10.1038/s41598-024-52688-y>.
46. Plaza J, Arencibia A, López-Muñoz MJ. Optimization of thermal exfoliation of graphitic carbon nitride for methylparaben photocatalytic degradation under simulated solar radiation. *J Mater Chem. A*. 2023;11(18): 9922–9930. <https://doi.org/10.1039/D3TA01109G>.
47. Schiavo L, Cammarano A, Carotenuto G, Longo A, Palomba M, Nicolais L. An overview of the advanced nanomaterials science. *Inorganica Chim. Acta*. 2024;559: 121802. <https://doi.org/10.1016/j.ica.2023.121802>.
48. Mahi K, Elassad Zemallach Ouari K, Mostefa R. Synthesis of nanoscale spinel aluminates powder and studies of their optical and structural properties. *Phys Scr.* 2024;99(9): 95982. <https://doi.org/10.1088/1402-4896/ad6e37>.
49. Escorcia-Díaz D, García-Mora S, Rendón-Castrillón L, Ramírez-Carmona M, Ocampo-López C. Advancements in nanoparticle deposition techniques for diverse substrates: a review. 2023;13(18): 2586. <https://doi.org/10.3390/nano13182586>.
50. Altammar KA. A review on nanoparticles: characteristics, synthesis, applications, and challenges. *Front Microbiol.* 2023;14(18): 2586. <https://doi.org/10.3389/fmicb.2023.1155622>.
51. Kumari S, Raturi S, Kulshrestha S, Chauhan K, Dhingra S, András K, et al. A comprehensive review on various techniques used for synthesizing nanoparticles. *J. Mater. Res. Technol.* 2023;27: 1739–1763. <https://doi.org/10.1016/j.jmrt.2023.09.291>.
52. Vijayaram S, Razafindralambo H, Sun YZ, Vasantharaj S, Ghafarifarsani H, Hoseinifar SH, et al. Applications of Green Synthesized Metal Nanoparticles- a Review. *Biol Trace Elem Res.* 2024;202(1):360–386. <https://doi.org/10.1007/s12011-023-03645-9>.
53. Škriniarová J, Andok R, Kadleciková M, Nevřela J. Problems concerning the demolding process of nano imprint lithography. In: *AIP Conf. Proc.* AIP Publishing; 2023. p. 30011. <https://doi.org/10.1063/5.0136329>.
54. Kang H, Lee D, Yang Y, Kyo Oh D, Seong J, Kim J, et al. Emerging low-cost, large-scale photonic platforms with soft lithography and self-assembly. *Photon Insight*. 2023;2(2): R04. <https://doi.org/10.3788/PI.2023.R04>.
55. Yang M, Schoop LM. Friends not foes: exfoliation of non-van der waals materials. *Acc. Chem. Res.* 2024;57(17): 2490–2499. <https://doi.org/10.1021/acs.accounts.4c00295>.
56. Vega MF, Olivas C, Díaz-Faes E, Barriocanal C. Evaluation of water splitting efficiency of g-C₃N₄ thermally etched/exfoliated under air and CO₂ atmospheres. *Catal Today*. 2024;427: 114412. <https://doi.org/10.1016/j.cattod.2023.114412>.
57. Rasool Z, Athar MS, Munir M. Construction of flake ball-shaped Bi₂WO₆ embedded on phenyl functionalized g-C₃N₄ nanosheet for efficient degradation insight of colorless pollutants and its biological application. *Environ Sci Pollut Res.* 2024;31(21): 31259–31272. <https://doi.org/10.1007/s11356-024-33294-x>.
58. Luo W, Chen X, Wei Z, Liu D, Yao W, Zhu Y. Three-dimensional network structure assembled by g-C₃N₄ nanorods for improving visible-light photocatalytic performance. *Appl Catal B Environ.* 2019;255: 117761. <https://doi.org/10.1016/j.apcatb.2019.117761>.
59. Yan Y, Meng Q, Tian L, Cai Y, Zhang Y, Chen Y. Engineering of g-C₃N₄ for Photocatalytic Hydrogen Production: A Review. *Int J Mol Sci.* 2024;25(16): 8842. <https://doi.org/10.3390/ijms25168842>.
60. Li DF, Huang WQ, Zou LR, Pan A, Huang GF. Mesoporous g-C₃N₄ Nanosheets: Synthesis, Superior Adsorption Capacity and Photocatalytic Activity. *J Nanosci Nanotechnol.* 2018;18(8): 5502–5510. <https://doi.org/10.1166/jnn.2018.15441>.
61. Cai X, He J, Chen L, Chen K, Li Y, Zhang K, et al. A 2D-g-C₃N₄ nanosheet as an eco-friendly adsorbent for various environmental pollutants in water. *Chemosphere*. 2017;171: 192–201. <https://doi.org/10.1016/j.chemosphere.2016.12.073>.
62. Yousefi M, Villar-Rodil S, Paredes JI, Moshfegh AZ. Oxidized graphitic carbon nitride nanosheets as an effective adsorbent for organic dyes and tetracycline for water remediation. *J. Alloys Compd.* 2019;809: 151783. <https://doi.org/10.1016/j.jallcom.2019.151783>.
63. Zhang P, Wang F, Qin Y, Wang N. Exfoliated Graphitic Carbon Nitride Nanosheets/Gold Nanoparticles/Spherical Montmorillonite Ternary Porous Heterostructures for the Degradation of Organic Dyes. *ACS Appl. Nano Mater.* 2020;3(8): 7847–7857. <https://doi.org/10.1021/acsnanm.0c01355>.
64. Miao J, Xu G, Liu J, Lv J, Wu Y. Synthesis and photocatalytic performance of g-C₃N₄ nanosheets via liquid phase stripping. *J. Solid State Chem.* 2017;246: 186–193. <https://doi.org/10.1016/j.jssc.2016.11.028>.
65. Majidi M, Givianrad MH, Saber-Tehrani M, Azar PA. Synthesis of porous g-C₃N₄ nanosheets with carbon vacancies for photodegradation of direct red 227 and direct black 166 dyes in aqueous solutions. *Diam Relat Mater.* 2023;137: 110163. <https://doi.org/10.1016/j.diamond.2023.110163>.

- 2023;110163.
66. Fareed I, Farooq M ul H, Khan MD, Yunas MF, Sandali Y, Ali Z, et al. Comprehensive investigations into the synergy of S-scheme heterojunction between nitrogen-doped ZnO nano-rods and g-C₃N₄ nanosheets for improved photocatalytic degradation. *Mater Chem Phys.* 2024;316: 129062. <https://doi.org/10.1016/j.matchemphys.2024.129062>.
67. Maridevaru MC, Nagaveni M, Kumari MM, Shankar MV, Khraisheh M, Selvaraj R. Unravelling the efficiency of CoAl-LDH / g-C₃N₄ nanosheets: Type-II heterojunction for photocatalytic hydrogen production and dye degradation under solar light irradiation. *Int J Hydrogen Energy.* 2024;89: 1112–1125. <https://doi.org/10.1016/j.ijhydene.2024.09.286>.
68. Gupta SV, Kulkarni VV, Ahmaruzzaman M. ZIF-8 incorporated CeO₂-CdS quantum dots @ 2D g-C₃N₄ nanosheets as a staggered type II heterojunction for decolouration of a set of dyes. *J Environ Chem Eng.* 2024;12(1): 111642. <https://doi.org/10.1016/j.jece.2023.111642>.
69. Harikrishnan L, Alwar K, Rajaram A. Structural and morphological studies of g-C₃N₄-functionalized MWCNTs nanocomposite for sunlight-responsive photocatalytic activity. 2024;54: 105238. <https://doi.org/10.1016/j.surfin.2024.105238>.
70. Gao H, Yao Z, Chen X, Zhu M, Zhao G, Zhang S, et al. Oxygen doping induced intramolecular electron acceptor system in red g-C₃N₄ nanosheets with remarkably enhanced photocatalytic performance. 2024; <https://doi.org/10.1016/j.chphma.2024.09.001>.
71. Surana M, Pattanayak DS, Singh VK, Pal D. g-C₃N₄ based Z-scheme photocatalysts for tetracycline degradation: A comprehensive review. *J Hazard Mater Lett.* 2024;5: 100116. <https://doi.org/10.1016/j.hazl.2024.100116>.
72. Nguyen TB, Sherpa K, Chen CW, Chen L, Thao Ho PN, Dong CD. Enhancing photocatalytic reduction of Cr(VI) in water through morphological manipulation of g-C₃N₄ photocatalysts: A comparative study of 1D, 2D, and 3D structures. *Chemosphere.* 2024;362: 142787. <https://doi.org/10.1016/j.chemosphere.2024.142787>.
73. Shanmugam P, Gopalakrishnan M, Smith SM, Luengnaruemitchai A, Kheawhom S, Boonyuen S. Enhanced photocatalytic performance of magnetically reclaimable N-doped g-C₃N₄/Fe₃O₄ nanocomposites for efficient tetracycline degradation. *Nano-Struct Nano-Objects.* 2024;40: 101392. <https://doi.org/10.1016/j.nanoso.2024.101392>.
74. Nabi G, Malik N, Tahir MB, Tanveer M, Rafique R, Rehman S, et al. Synthesis of g-C₃N₄ nanorods for visible-light photocatalytic degradation of methylene blue, methylene orange and rhodamine-B. *Int J Environ Anal Chem.* 2022;102(19): 8503–8518. <https://doi.org/10.1080/03067319.2020.1849666>.
75. Vijayarangan R, Mohan S, Selvaraj M, Assiri MA, Ilangoan R. Surface-engineered anisotropic g-C₃N₄ photocatalysts via green-exfoliation for visible light-driven water remediation. *Surf Interfaces.* 2024;44: 103782. <https://doi.org/10.1016/j.surfin.2023.103782>.
76. Wang J, Ren P, Zhao X, Chen Z, Jin Y, Zhang Z. Acid-alkali assisted synthesis of white tremella-like g-C₃N₄ homojunction for photocatalytic degradation under visible light. *Mater Res Bull.* 2024;171: 112619. <https://doi.org/10.1016/j.materresbull.2023.112619>.
77. Li S, Peng Y, Hu C, Chen Z. Self-assembled synthesis of benzene-ring-grafted g-C₃N₄ nanotubes for enhanced photocatalytic H₂ evolution. *Appl. Catal. B Environ.* 2020;279: 119401. <https://doi.org/10.1016/j.apcatb.2020.119401>.
78. He X, Wang L, Sun S, Guo X, Tian H, Xia Z, et al. Photodeposition synthesis of hollow g-C₃N₄/Ag nanotubes with high oxidation properties to enhance visible-light photocatalytic performance. *Mater Res Bull.* 2024;172: 112658. <https://doi.org/10.1016/j.materresbull.2023.112658>.
79. Hemmati-Eslamlu P, Habibi-Yangjeh A, Asadzadeh-Khaneghah S, Chand H, Krishnan V. Integration g-C₃N₄ nanotubes and Sb₂MoO₆ nanoparticles: Impressive photoactivity for tetracycline degradation, Cr (VI) reduction, and organic dyes removals under visible light. *Adv Powder Technol.* 2021;32(7): 2322–2335. <https://doi.org/10.1016/japt.2021.05.007>.
80. Jiang Z, Zhang X, Chen H, Hu X, Yang P. Formation of g-C₃N₄ Nanotubes towards Superior Photocatalysis Performance. *Chem Cat Chem.* 2019;11(18): 4558–4567. <https://doi.org/10.1002/cctc.201901038>.
81. Chong B, Chen L, Han D, Wang L, Feng L, Li Q, et al. CdS-modified one-dimensional g-C₃N₄ porous nanotubes for efficient visible-light photocatalytic conversion. *Chinese J Catal.* 2019;40(6): 959–968. [https://doi.org/10.1016/S1872-2067\(19\)63355-3](https://doi.org/10.1016/S1872-2067(19)63355-3).
82. Li H, Zang L, Shen F, Wang L, Sun L, Yuan F. Tubular g-C₃N₄/carbon framework for high-efficiency photocatalytic degradation of methylene blue. *RSC Adv.* 2021;11(30): 18519–18524. <https://doi.org/10.1039/D1RA02918E>.
83. Xie J, Wu C, Xu Z, Tian C, Li M, Huang J. Novel AgCl/g-C₃N₄ heterostructure nanotube: Ultrasonic synthesis, characterization, and photocatalytic activity. *Mater Lett.* 2019;234: 179–182. <https://doi.org/10.1016/j.matlet.2018.09.089>.
84. Habibi Lisar S, Karimi G. Synthesis of novel maghemite (γ -Fe₂O₃)-decorated g-C₃N₄ nano-tubes (g-C₃N₄ NTs/ γ -Fe₂O₃) photocatalytic nano-composite for ultrafast degradation of organics in wastewater: Insight into the mechanism of photoexcited charge separation. *Appl Surf Sci Adv.* 2023;18:100515. <https://doi.org/10.1016/j.apsadv.2023.100515>.

How to cite this article:

Farhadi H, Keramati N. A review of the effect of different structures and morphologies of g-C₃N₄ on its performance in dyes removal. *J Stud Color World.* 2025;15(2):227-241. <https://doi.org/10.30509/jscw.2025.167430.1214> [In Persian].